

Bilan des carottages LITAQ : quels nouveaux apports pour quelles interprétations ?

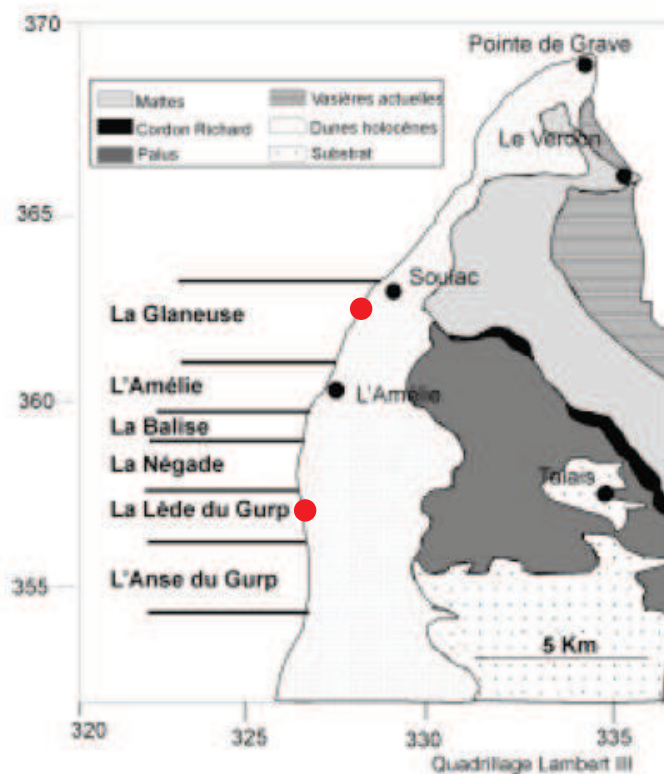


Frédérique Eynaud & les membres du projet LITAQ

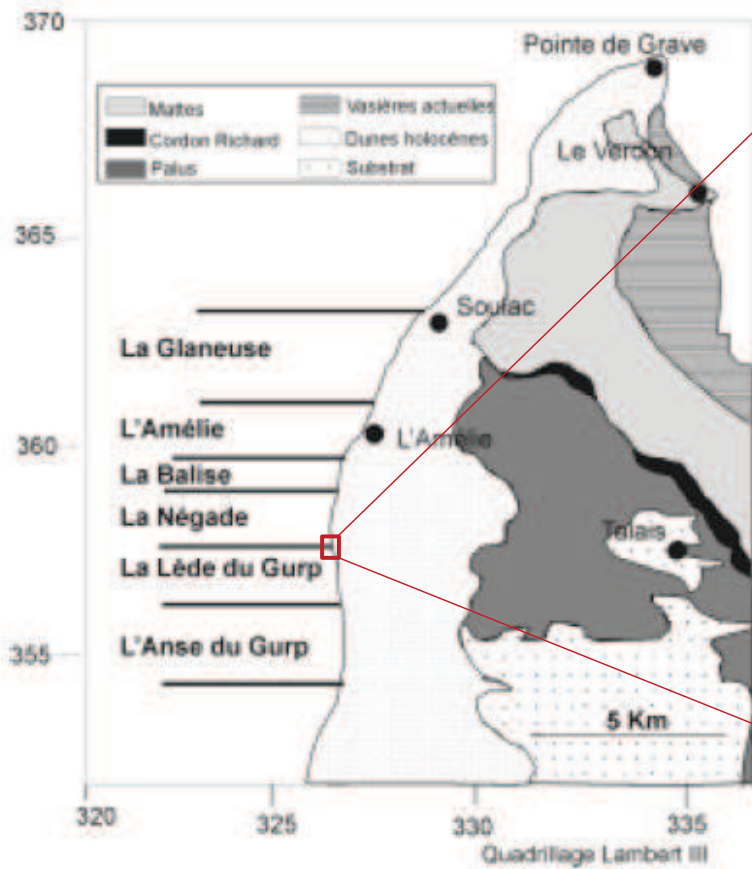


@S. Zaragosi (traitement ALTI _IGN_ Arcview - Octobre 2014)

Site	Carottages 2014	LONG. WGS84	LAT. WGS84	Longueur (cm)	Couverture stratigraphique
Lède du Gurp, falaise dunaire, <i>Commune de Grayan et l'Hopital</i>	LITAQ -G1	-1.15441	45.46640	338	derniers 15 ka ?
Lède du Gurp, sita archéologique JRL, <i>Commune de Grayan et l'Hopital</i>	LITAQ -G2 / plaquettes	-1.15436	45.46622	300	derniers 10 ka (date Vienne bois)
La Glaneuse, <i>Commune de SOULAC</i>	LITAQ -A1/ A2	-1.13964	45.50142	238	derniers 3 ka ?



Clavé, 2001



Carottages LITAG-G1 & G2

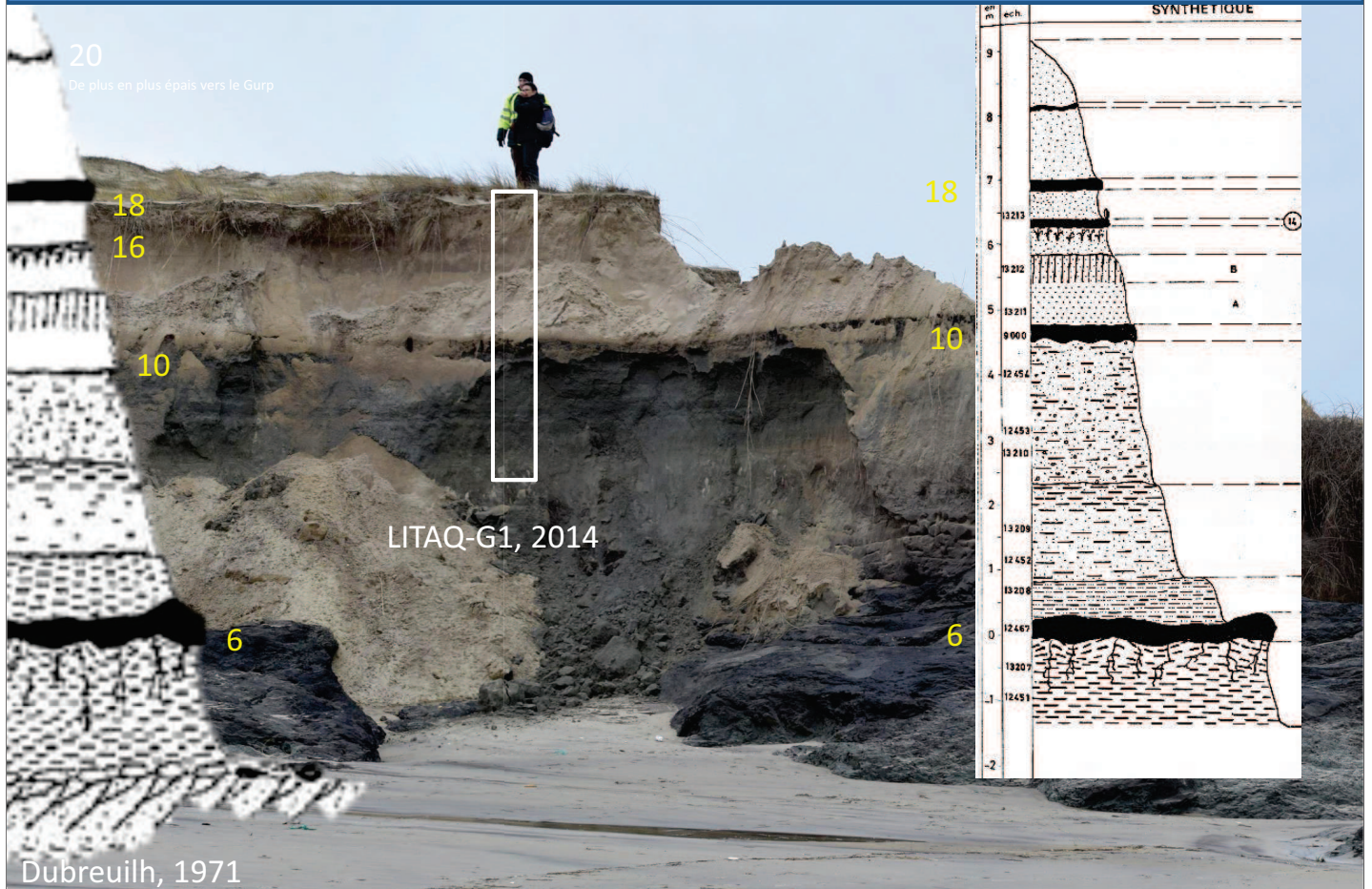
Carottage LITAG_G1, Falaise dunaire



LITAG-G1



Carottage LITAG_G1, Falaise dunaire

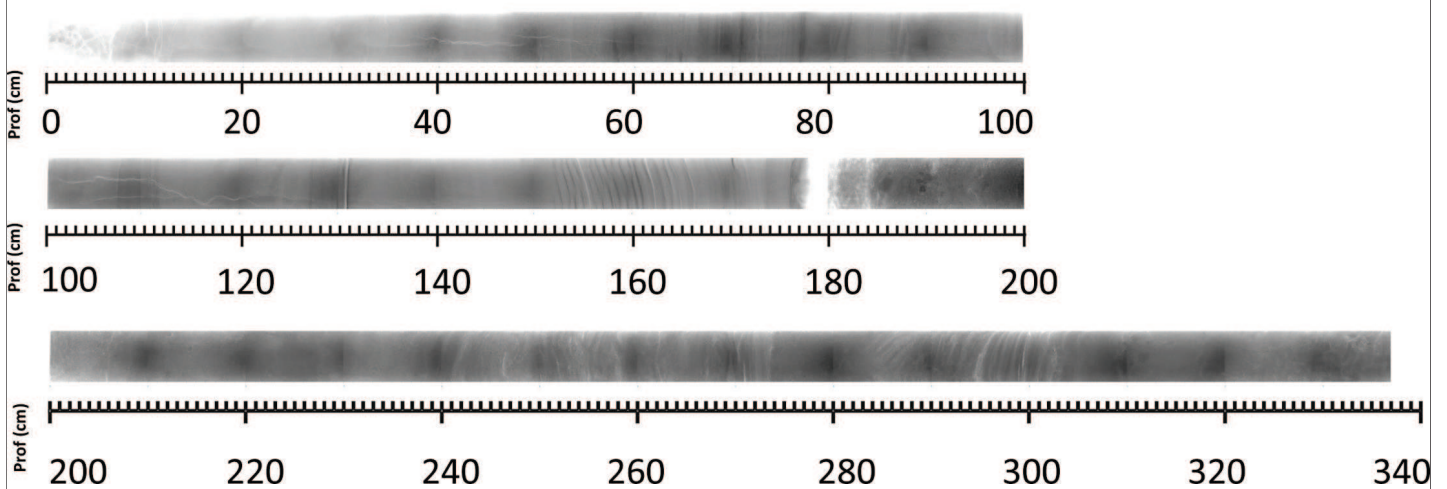


Essai de raccordement stratigraphique, falaise de la Nègade

Carottage LITAG_G1, paléosols dunes

Imagerie SCOPIX – carotte G1

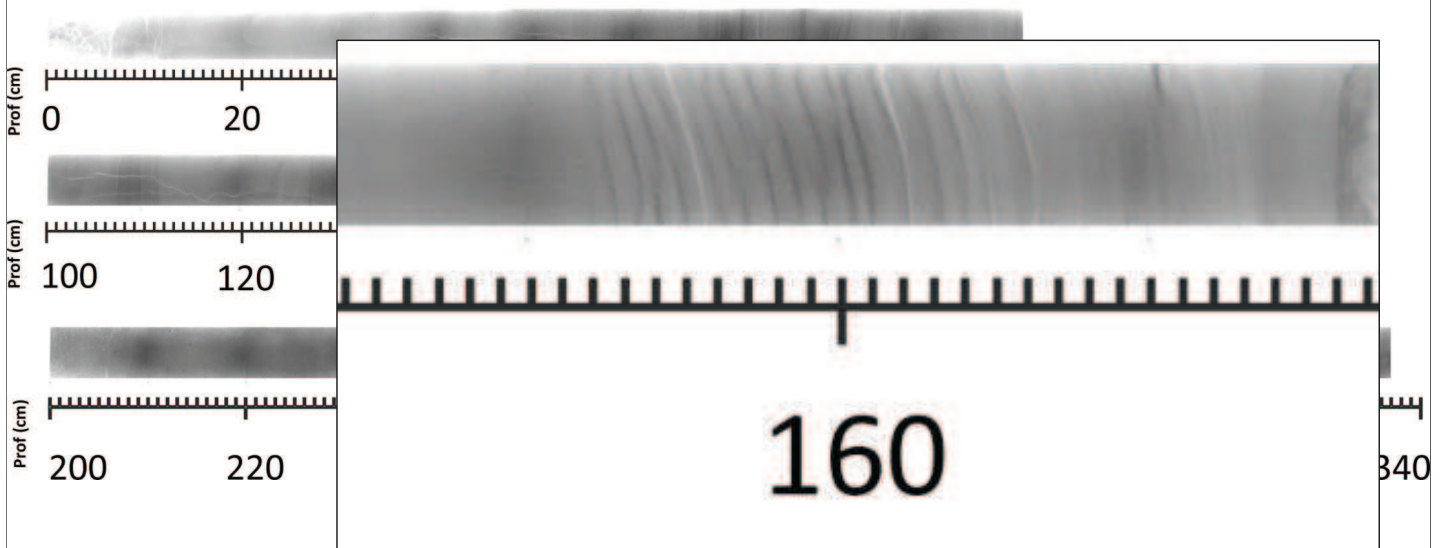
LITAG_G1_demi-carottes



LITAG -G1 (LAT. : 45°27'59.0460''N ; LONG. : 1°09'15.8880''W ; 73.7 m alt. géoïde)

Imagerie SCOPIX – carotte G1

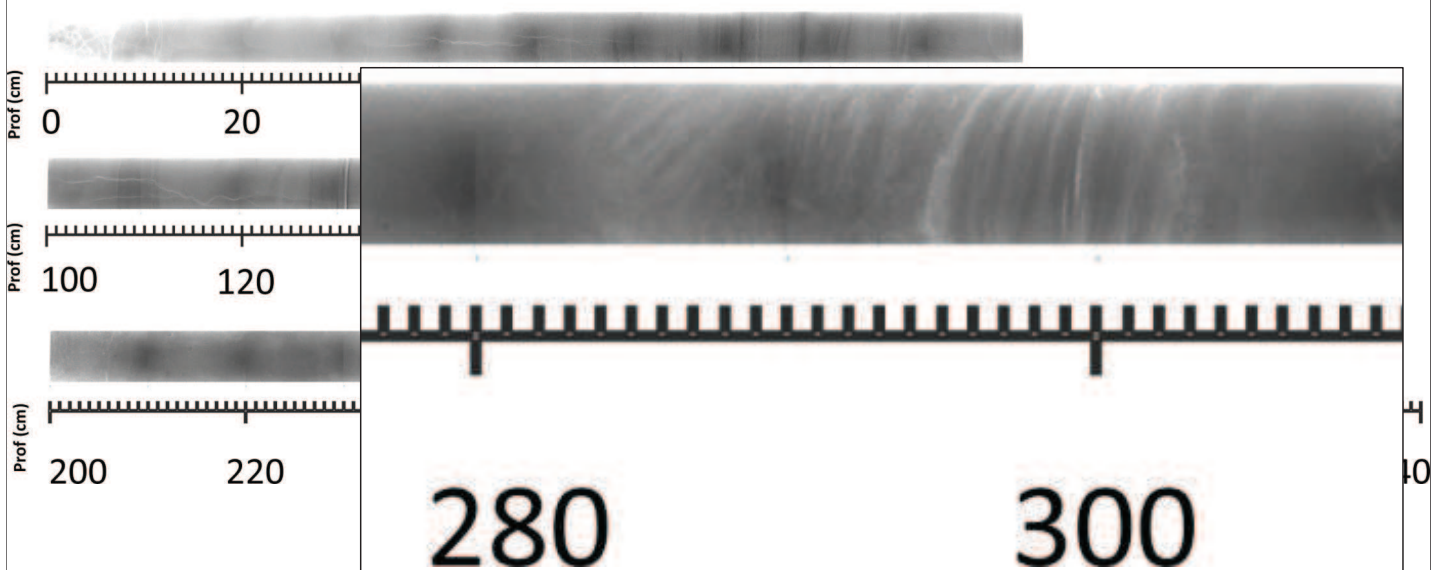
LITAG_G1_demi-carottes



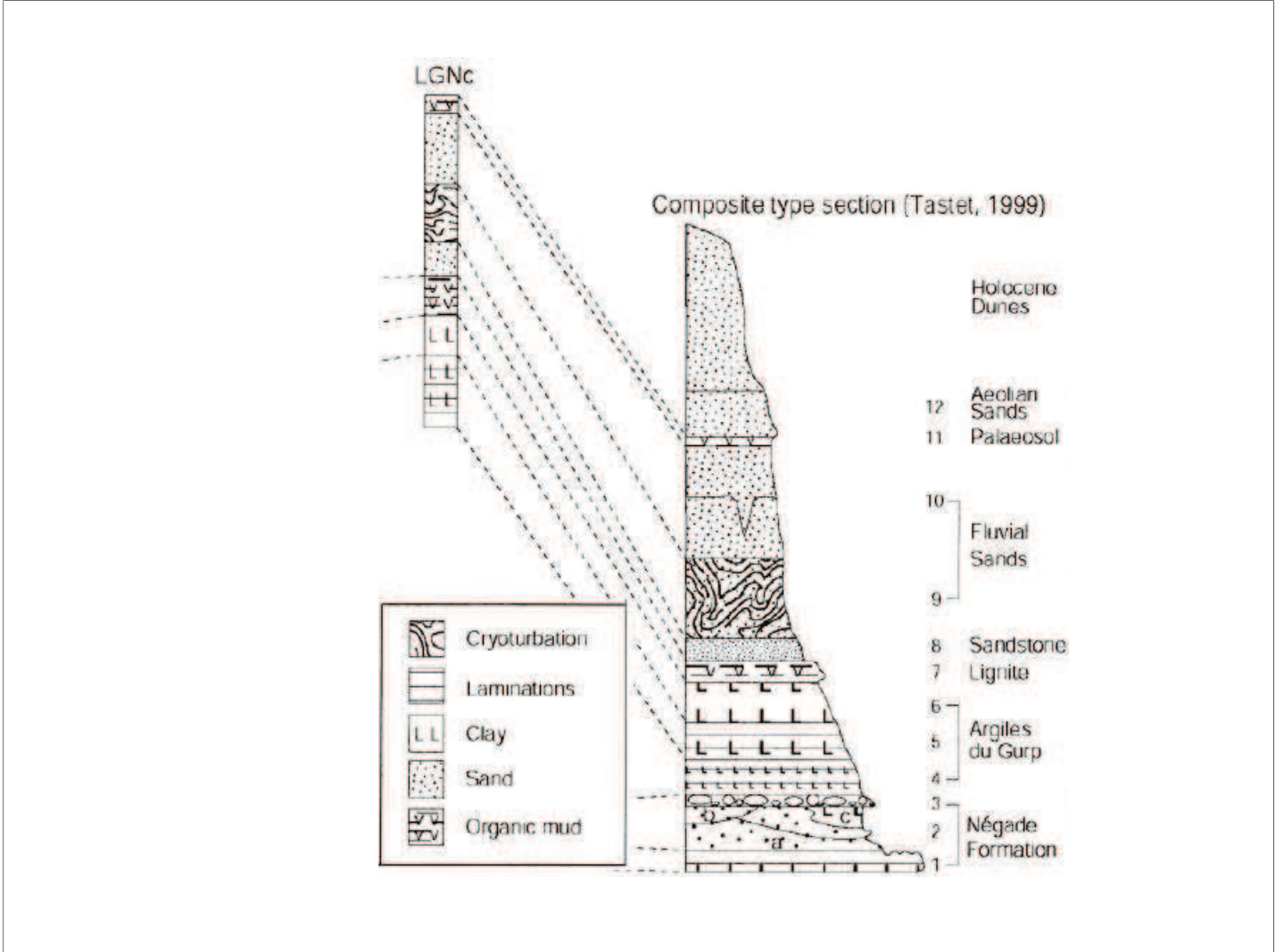
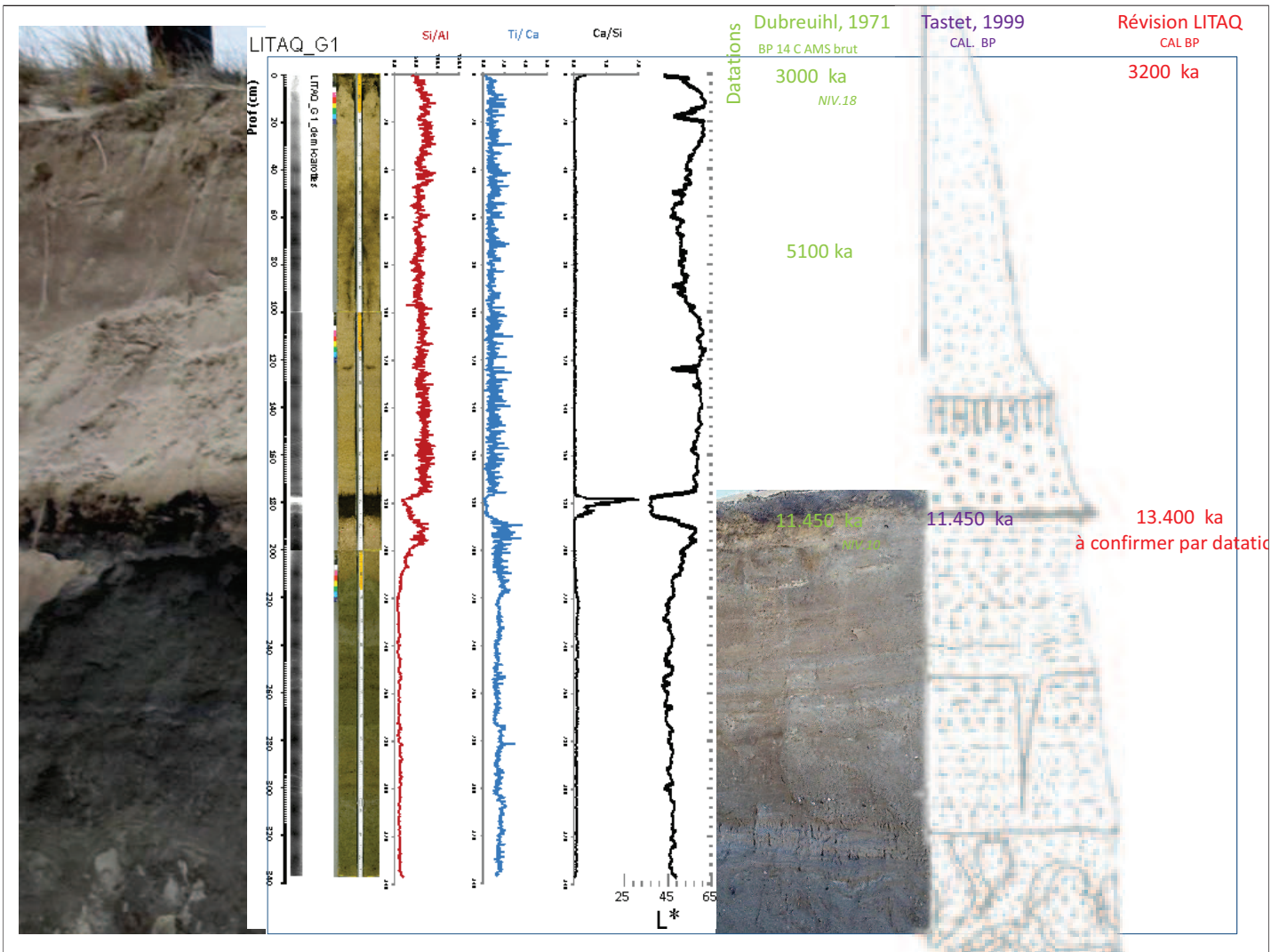
LITAG -G1 (LAT. : 45°27'59.0460''N ; LONG. : 1°09'15.8880''W ; 73.7 m alt. géoïde)

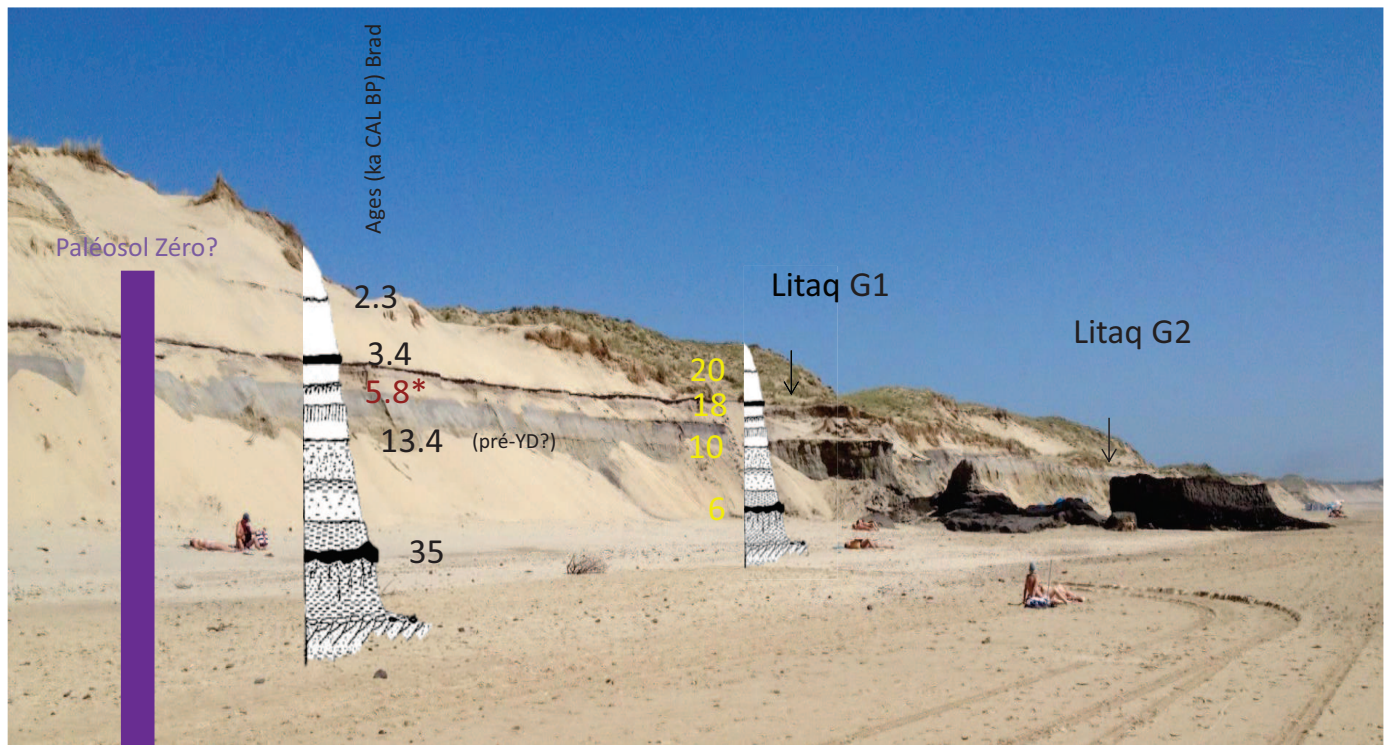
Imagerie SCOPIX – carotte G1

LITAG_G1_demi-carottes



LITAG -G1 (LAT. : 45°27'59.0460''N ; LONG. : 1°09'15.8880''W ; 73.7 m alt. géoïde)

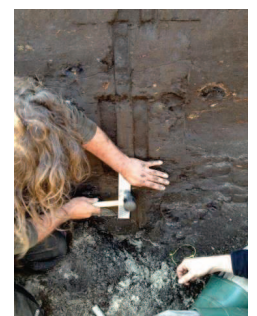
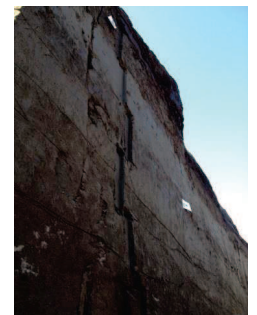




* Date issue de Roussot-Larroque , 1975

En cohérence avec dates obtenues à l'Amélie (prélèvement Gilles, s0 ~2 ka BP)

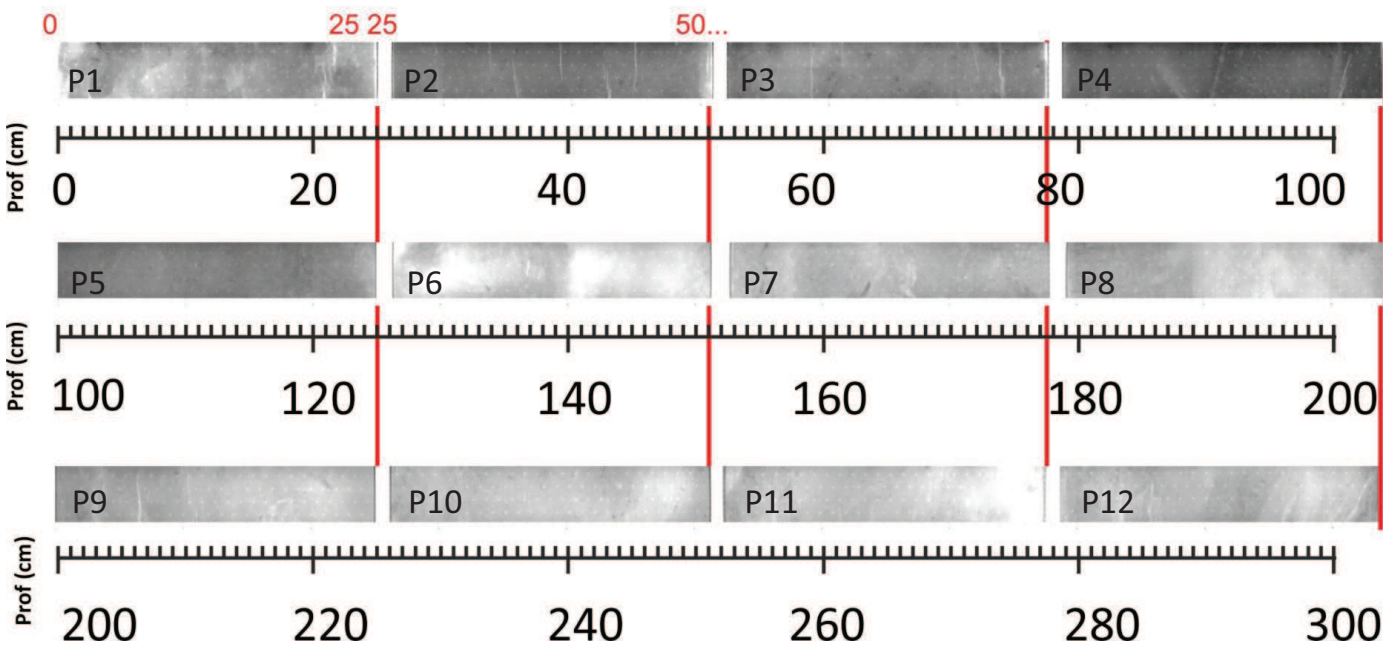
Plaquetage affleurement LITAQ_G2, site de fouille J. Roussot-Larroque



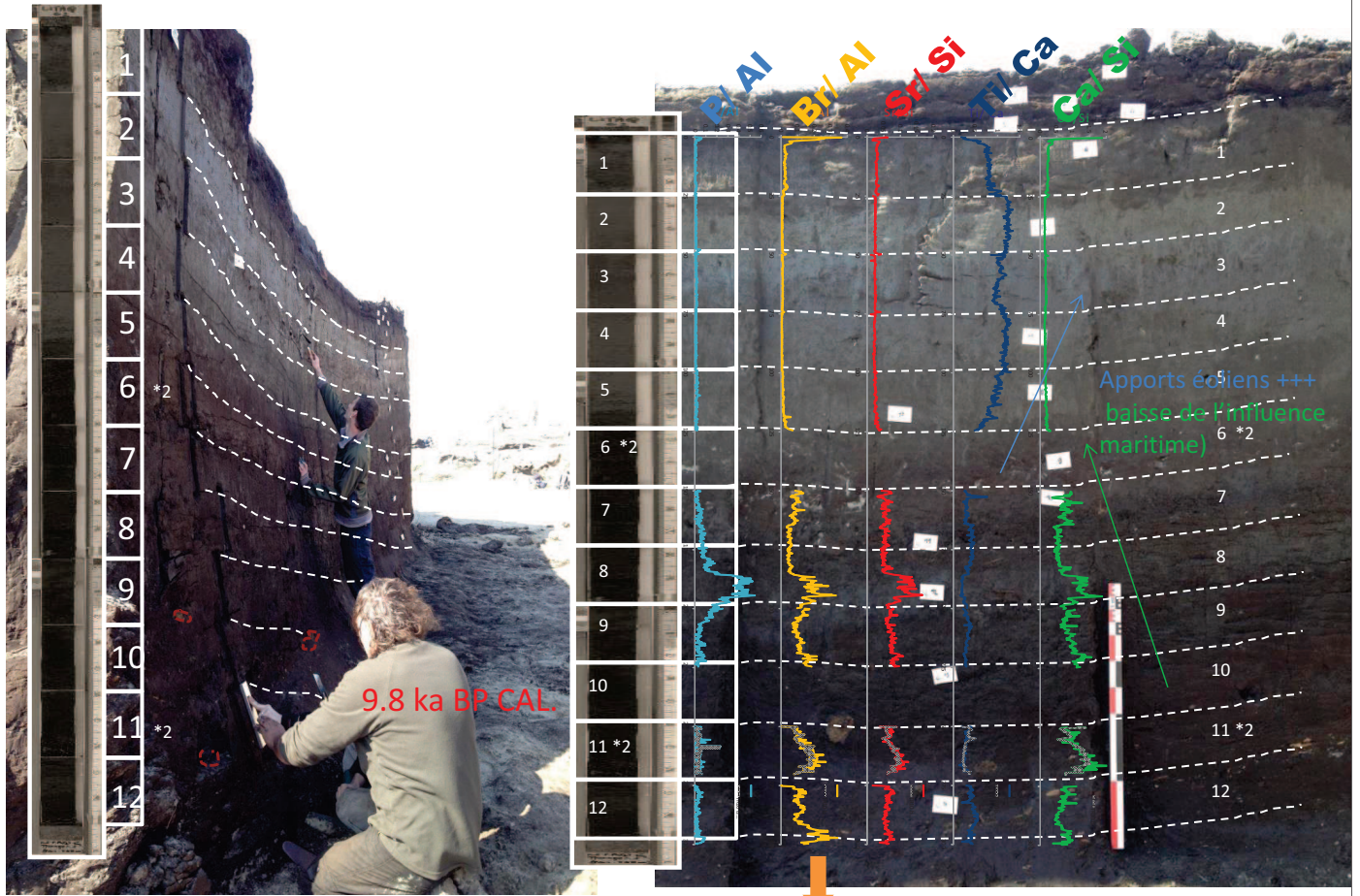


Imagerie SCOPIX

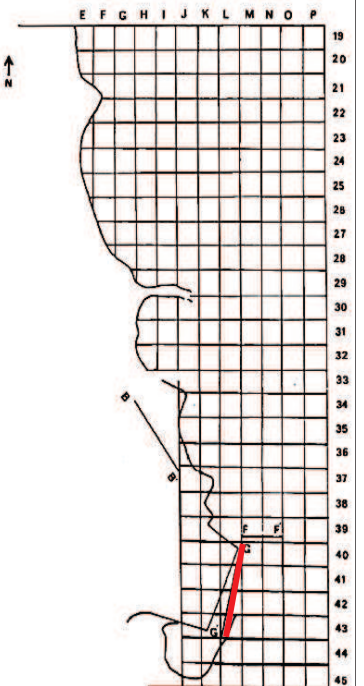
LITAG_G2_plaquettes



LITAG -G2 (-1.15436; 45.46622)



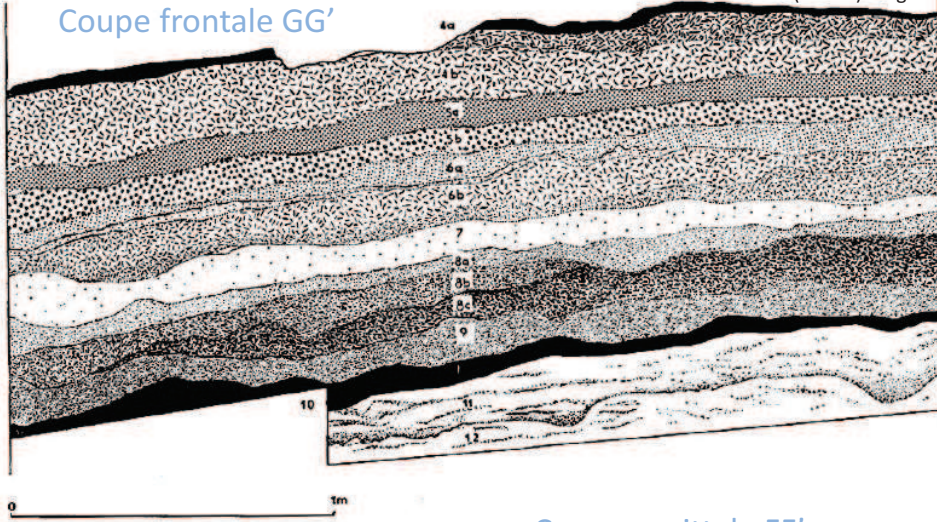
La Lède du Gulp, coupe frontale GG' (Roussot-Larroque & Villes, 1988, Marambat & Roussot -arroque, 1989)



La Lède du Gulp, (Roussot-Larroque & Villes, 1988; Marambat & Roussot -arroque, 1989)

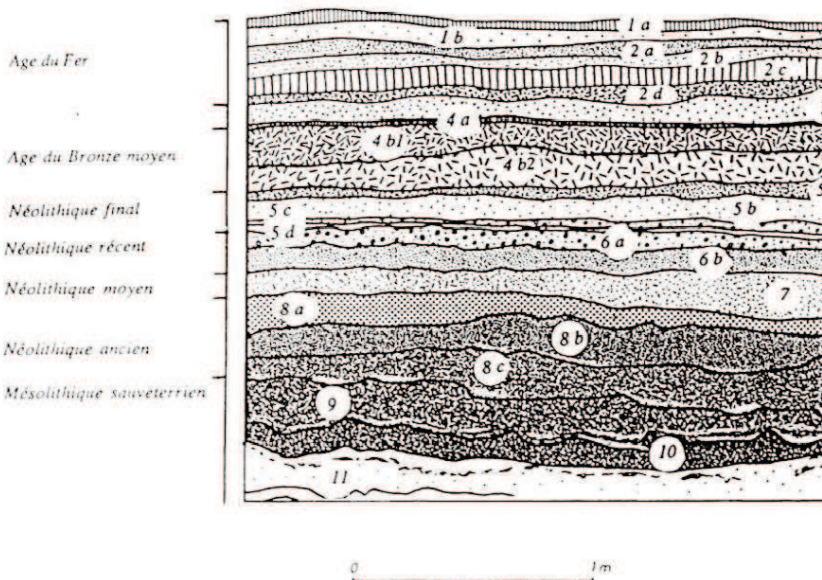
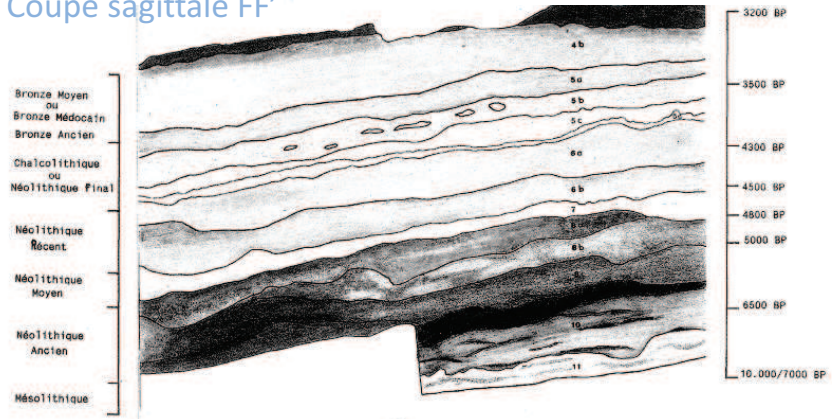
2990 BP (+ 120) Frugier ds Roussot Larroque 88

Coupe frontale GG'



Bronze moyen médocain	3300 BP
Bronze ancien ?	
Néolithique final ?	
Néolithique récent Feu-Richard	4500 BP
Néolithique moyen ou récent	
Néolithique moyen ou récent Néolithique moyen chasséen ?	6000 BP
Néolithique ancien cardial	
Mésolithique	
Épipaléolithique ?	

Coupe sagittale FF'



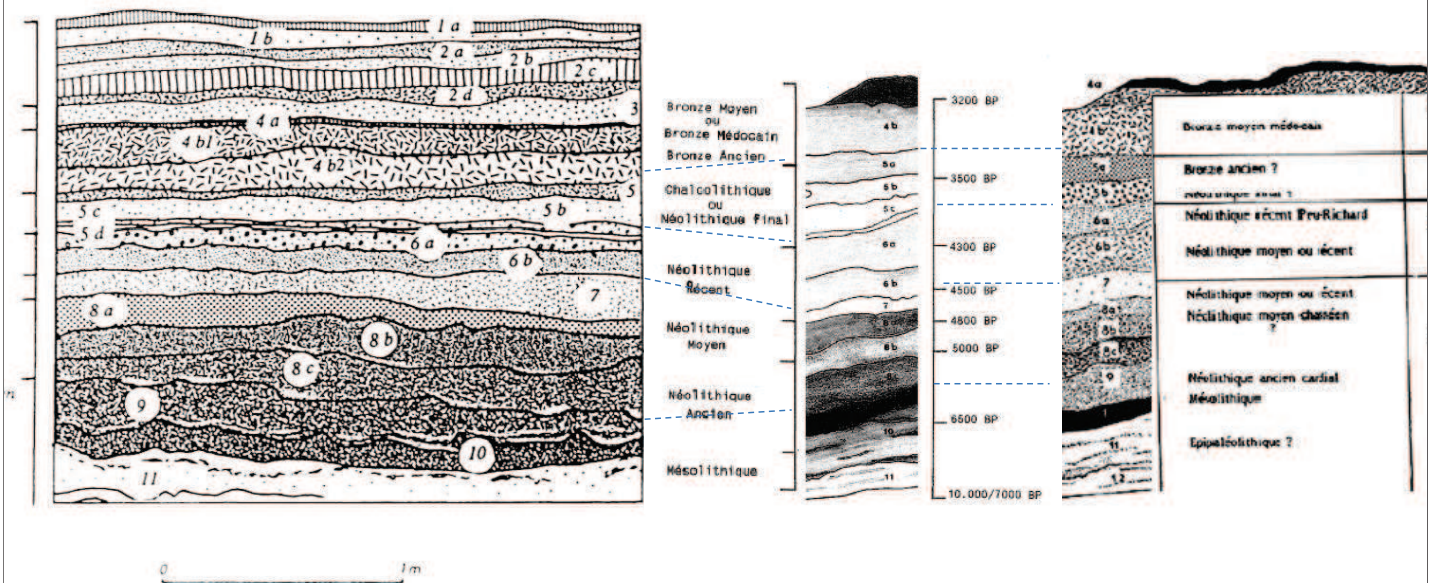
Guibert et al., 1996

Fig. 8 - La Lède du Gulp, Gironde. Zone centrale, stratigraphie simplifiée. La structure en bois du Néolithique ancien se rapporte à la couche 8 a (J. R.-L.).

Tabl. 6 - La Lède du Gulp. Datations TL et radiocarbone de matériel archéologique néolithique ancien, extrait de la fosse I-J 38-39 ou du niveau 8 c. Les dates ¹⁴C calibrées sont présentées sous forme d'intervalle de confiance à 68 % et 95 % de probabilité.

Échantillon	provenance	âge -TL et âges ¹⁴ C non calibrés	Dates et intervalles de confiance après calibration pour les âges ¹⁴ C	
			68 % (1σ)	95 % (2σ)
BDX 2024 (TL)	fosse	6450 ± 520 a (/1991)	4980-3940 av. J.C.	
Ly-5318 (¹⁴ C)	fosse	6100 ± 65 BP	5190-4930 av. J.C.	5200-4850 av. J.C.
Ly-5319 (¹⁴ C)	fosse	5815 ± 60 BP	4770-4580 av. J.C.	4800-4530 av. J.C.
Ly-5320 (¹⁴ C)	fosse	5685 ± 55 BP	4570-4460 av. J.C.	4680-4380 av. J.C.
Ly-6050 (¹⁴ C)	niveau 8 c	5970 ± 60 BP	4910-4780 av. J.C.	5000-4730 av. J.C.

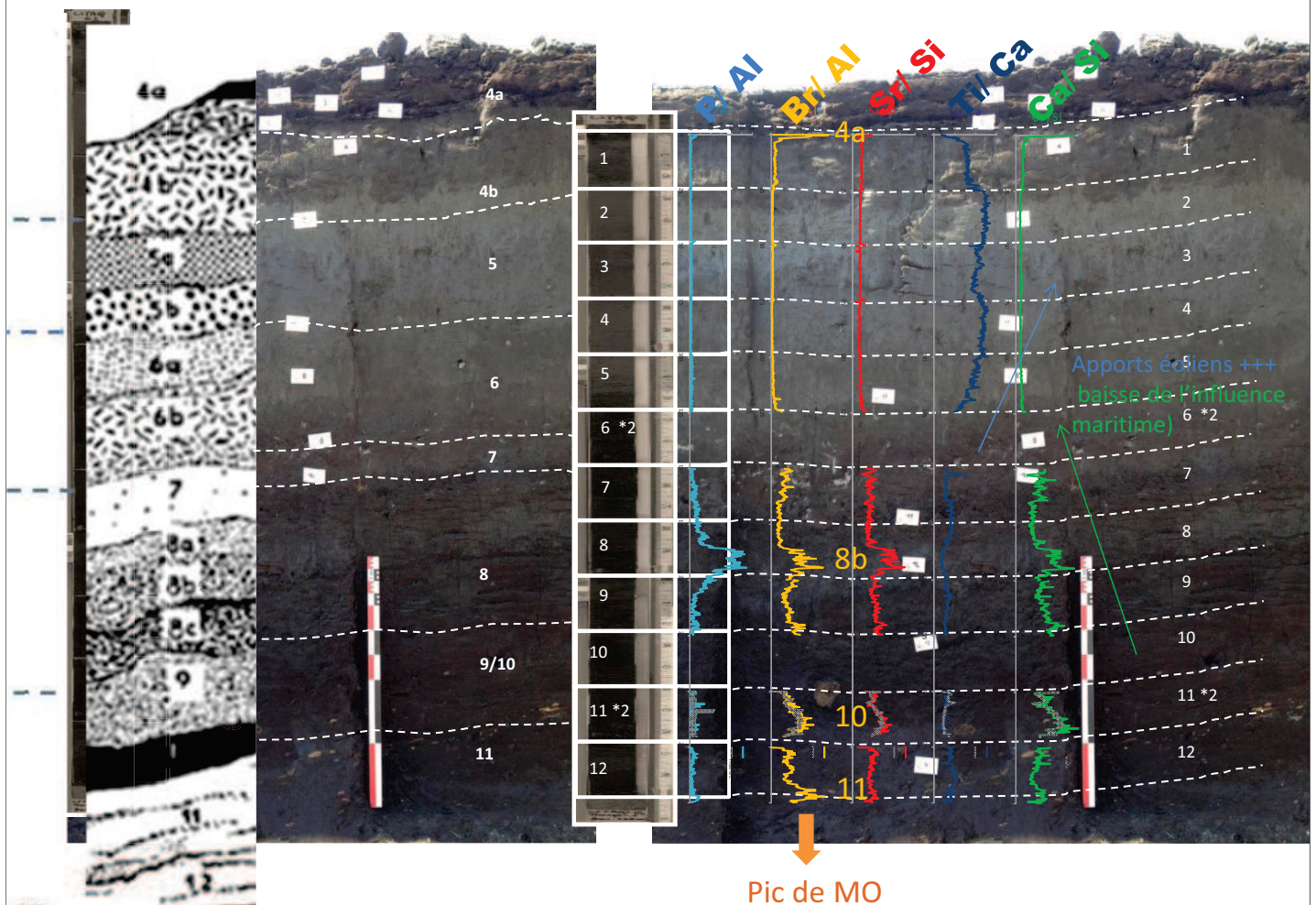
Synthèse en vue de comparaison avec G2



Tabl. 6 - La Lède du Gurd. Datations TL et radiocarbone de matériel archéologique néolithique ancien, extrait de la fosse I-J 38-39 ou du niveau 8 c. Les dates ^{14}C calibrées sont présentées sous forme d'intervalle de confiance à 68 % et 95 % de probabilité.

Échantillon	provenance	âge -TL et âges ^{14}C non calibrés	Dates et intervalles de confiance après calibration pour les âges ^{14}C	
			68 % (1 σ)	95 % (2 σ)
BDX 2024 (TL)	fosse	6450 \pm 520 a (/1991)	4980-3940 av. J.C.	
Ly-5318 (^{14}C)	fosse	6100 \pm 65 BP	5190-4930 av. J.C.	5200-4850 av. J.C.
Ly-5319 (^{14}C)	fosse	5815 \pm 60 BP	4770-4580 av. J.C.	4800-4530 av. J.C.
Ly-5320 (^{14}C)	fosse	5685 \pm 55 BP	4570-4460 av. J.C.	4680-4380 av. J.C.
Ly-6050 (^{14}C)	niveau 8 c	5970 \pm 60 BP	4910-4780 av. J.C.	5000-4730 av. J.C.

LITAG_G2, site de fouille J. Roussot-Larroque => corrélation strati.



Variabilité des signaux de SST à l'échelle de l'Holocène

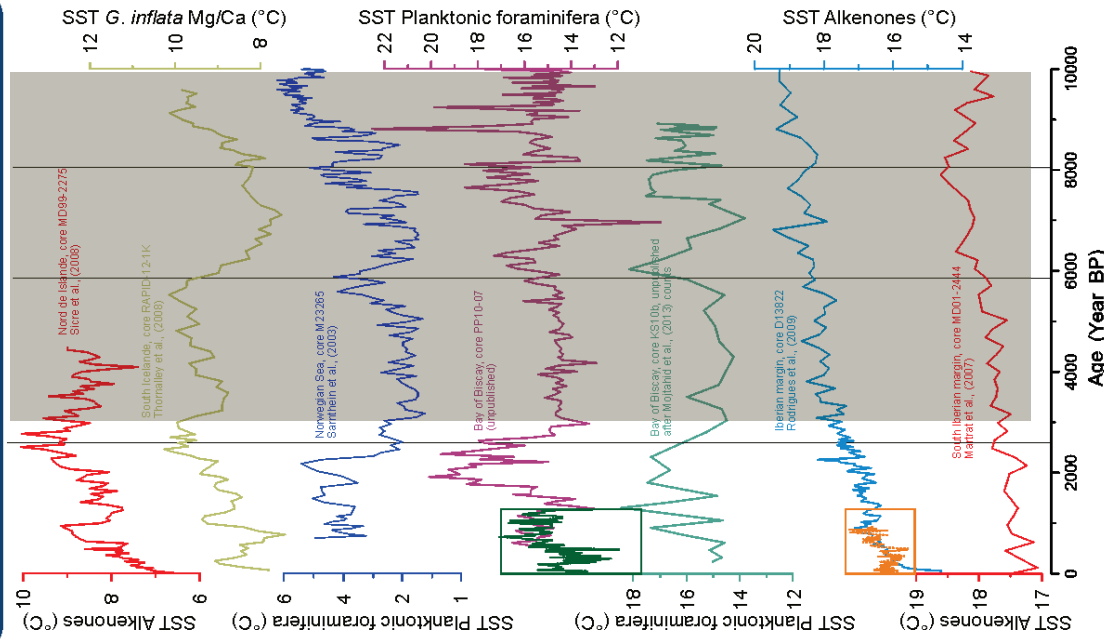


Figure 3: Comparaison de signaux de SST dans l'Atlantique Nord recouvrant les derniers 10000 ans. Les modèles d'âge utilisés sont ceux de leurs auteurs respectifs. La nature des proxy utilisés est indiquée pour chaque courbe. Les encadrés indiquent les signaux des derniers 1500 ans présentés en Figure 2.

Vers une meilleure compréhension de l'influence de la circulation océanique sur le climat de l'Holocène en Atlantique-Nord: premiers résultats du projet HAMOC

Yannick MARY¹, Frédérique EYNAUD¹ et Christophe COLIN²

(1) UMR 5805 - EPOC
Université de Bordeaux, Pessac

(2) UMR 8148 - IDES CNRS
Université de Paris-Sud XI, Paris

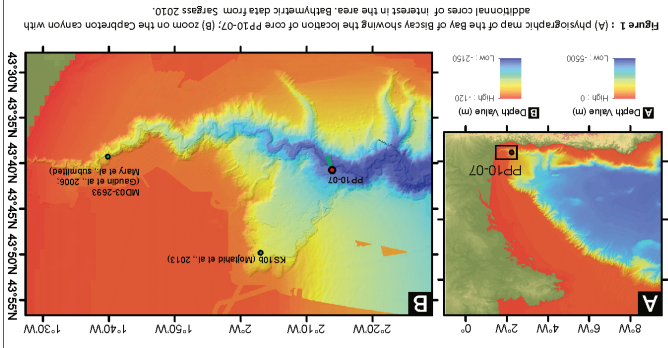
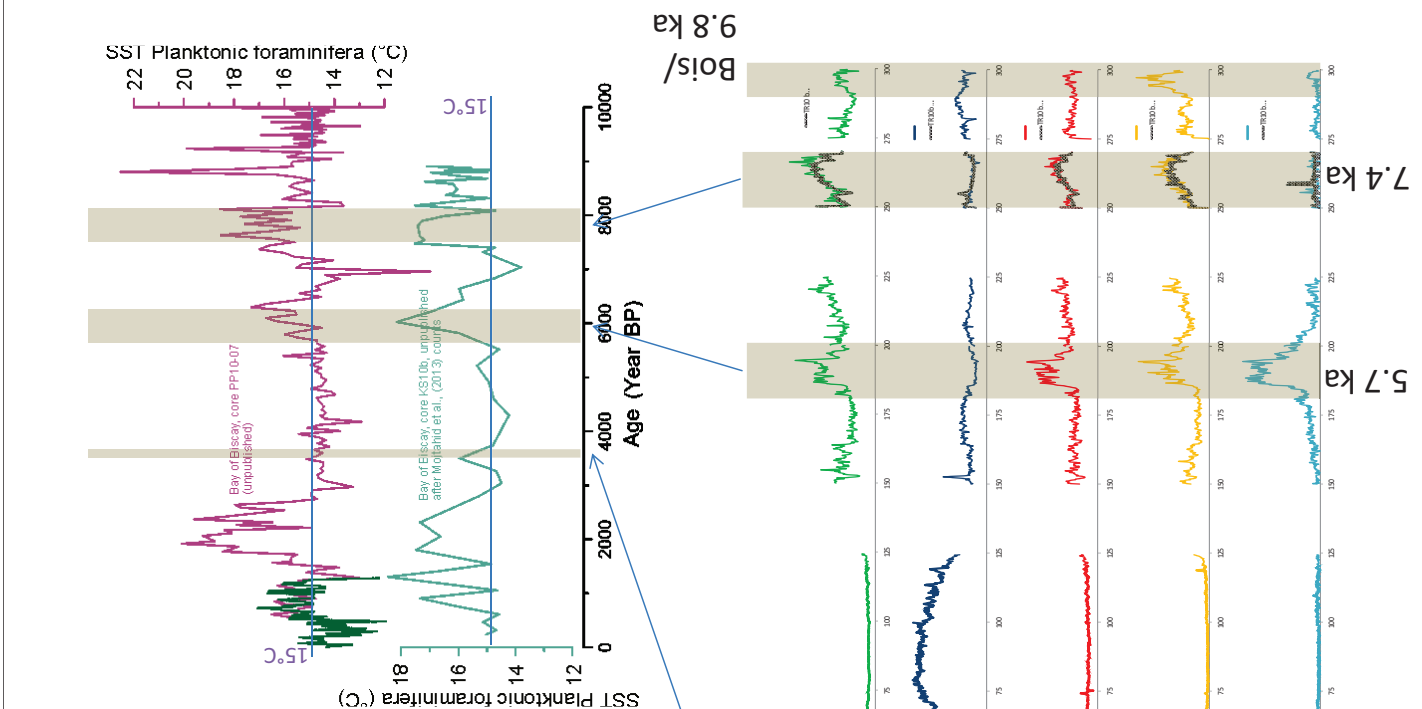
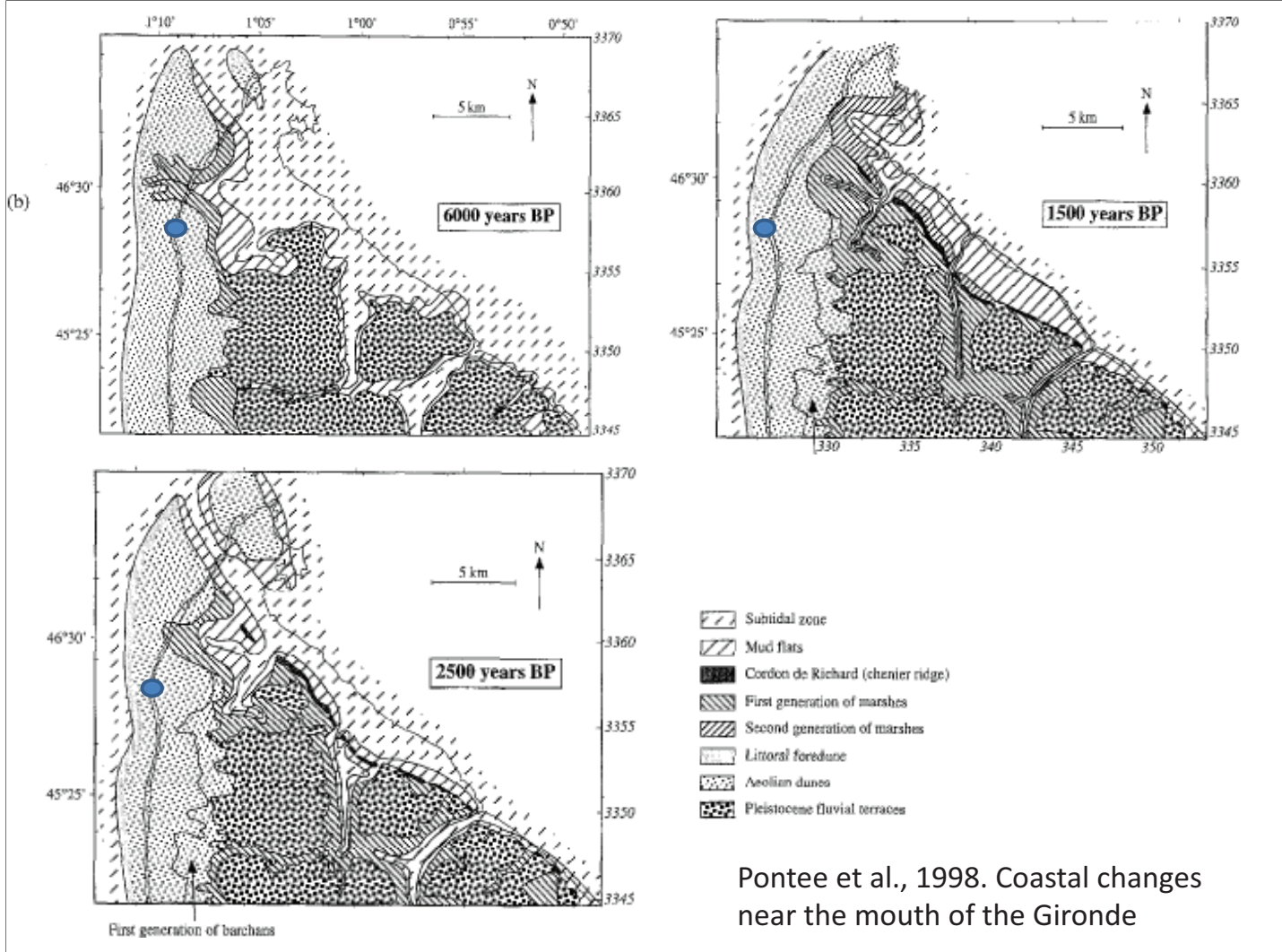
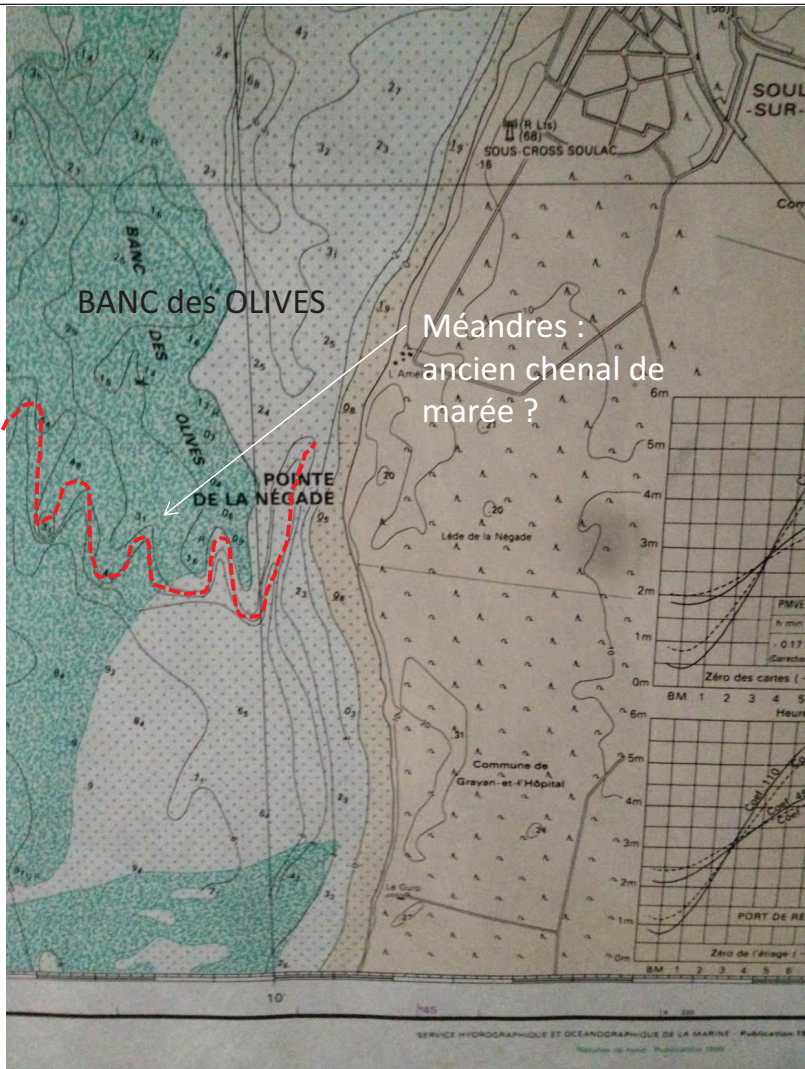
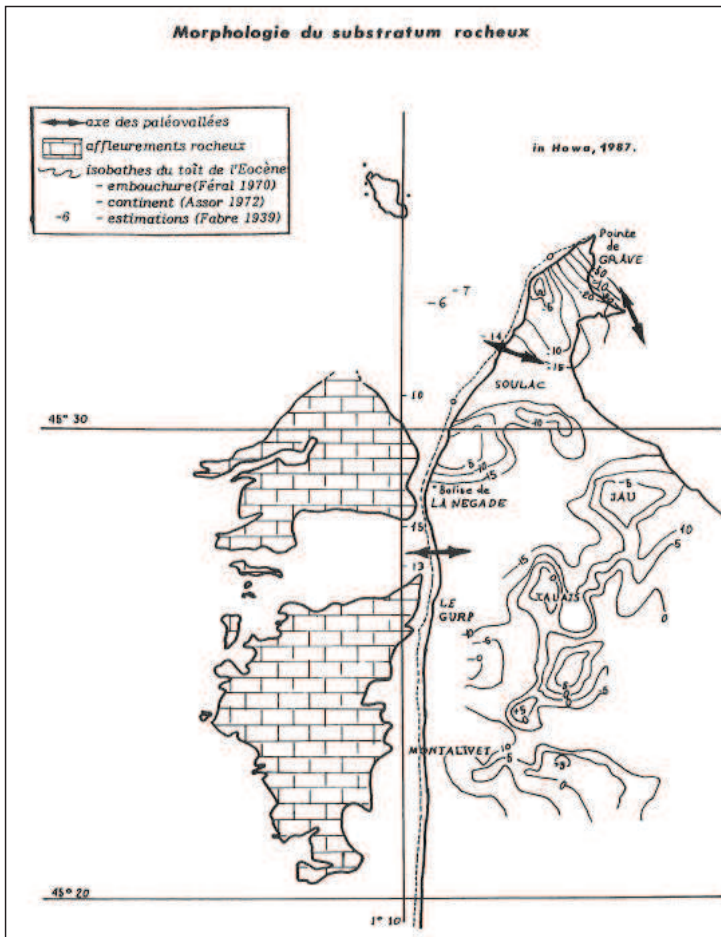
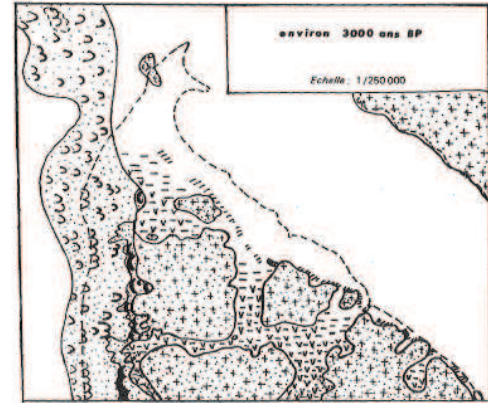
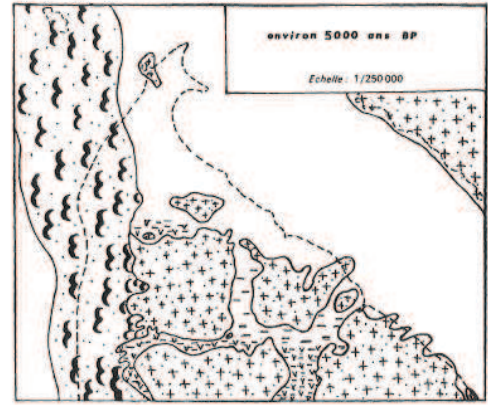


Figure 1: (A) physiographic map of the Bay of Biscay showing the location of core PP10-07; (B) zoom on the Capbreton canyon with additional cores of interest in the area. Bathymetric data from Sargass 2010.





Reconstitutions paléogéographiques
aux périodes pré- et protohistoriques holocènes
(d'après Allard et al, 1974)



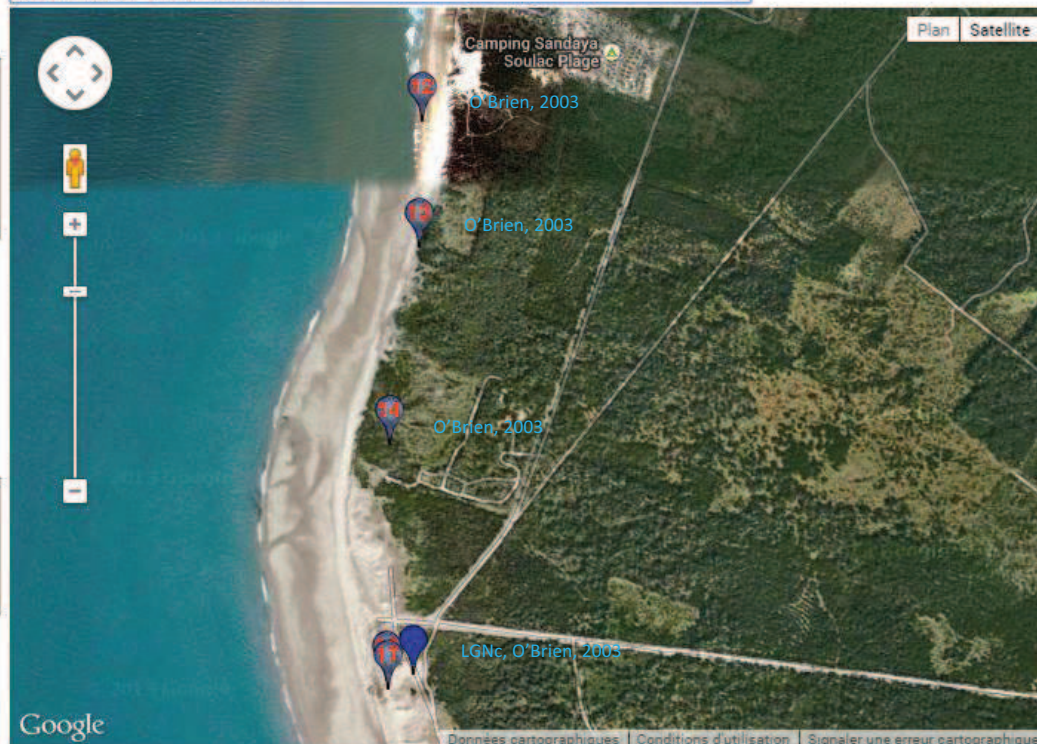
Petorin, 1988. DEA -Mention: Géologie du Quaternaire. Contribution à l'étude sédimentologique des dépôts supérieurs de la falaise du Gulp (Grayan-et-l'Hôpital, Gironde). Essai d'interprétation paléogéographique : évolution d'un paléochenal de la Gironde depuis l'interstade wUrmien.

<http://geofree.fr/gf/mappoint.asp#carte>

Visualisation des points (Tableau 2)

Point Latitude Longitude Commentaires

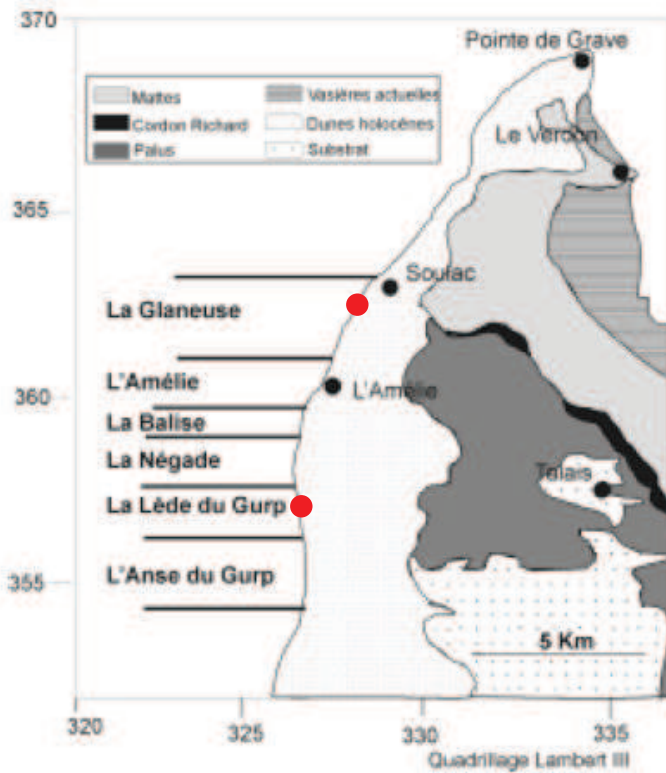
- pt12:45.47773;-1.15340;La Balise (LBc—45 28.664°N, 1 9.204°W),
- pt13:45.47517;-1.15350;La Balise South (LBSc—45 28.51°N, 1 9.21°W)
- pt14:45.47117;-1.15433;Pointe de La Negade (PNf—45 28.27°N, 1 9.26°W)
- pt15:45.46650;-1.15367;Le Gulp North (LGNc—45 27.99°N, 1 9.22°W)
- pt16:45.46640;-1.15441;LITAO-G1



Google

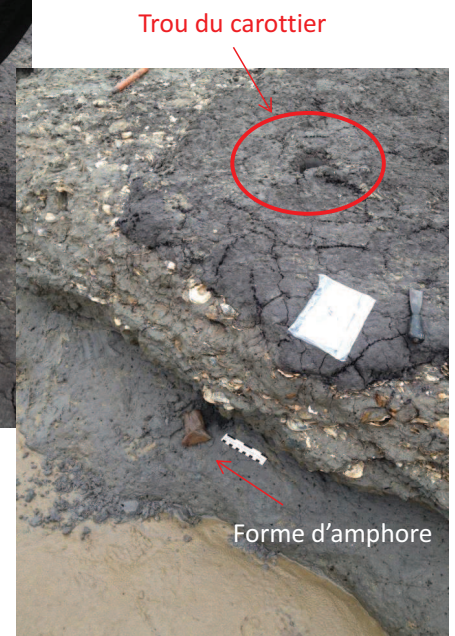
Données cartographiques | Conditions d'utilisation | Signaler une erreur cartographique

LITAQ_A1/A2 Plage de la Glaneuse



Clavé, 2001

Carottages LITAQ_A1/A2, La Glaneuse



LITAQ -A1
LAT. : 45°30'04.98"N
LONG. : 1°08'22.728"W
42.9 m alt. géoïde

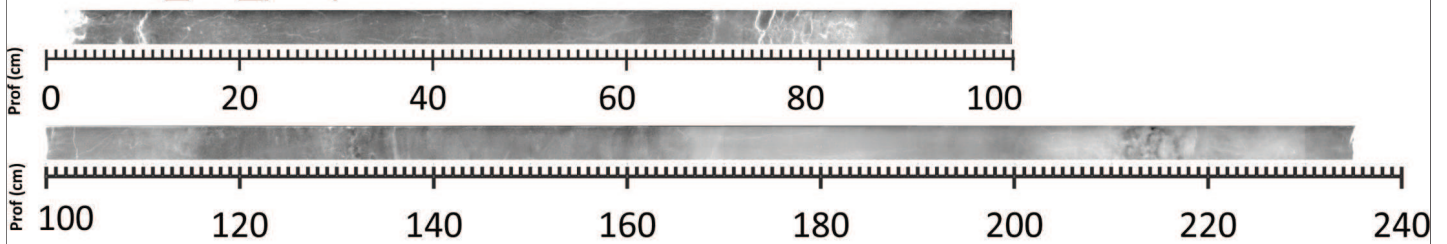


LITAG -A2 (LAT. : 45°30'05.094''N ; LONG. : 1°08'22.698''W ; 53.1 m alt. géoïde)

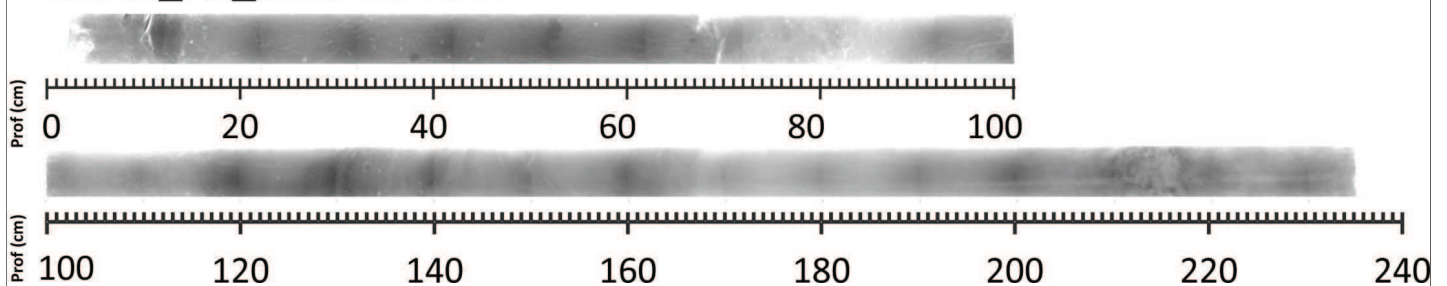
Carottage LITAG_A2,

Imagerie SCOPIX

LITAG_A2_plaquettes



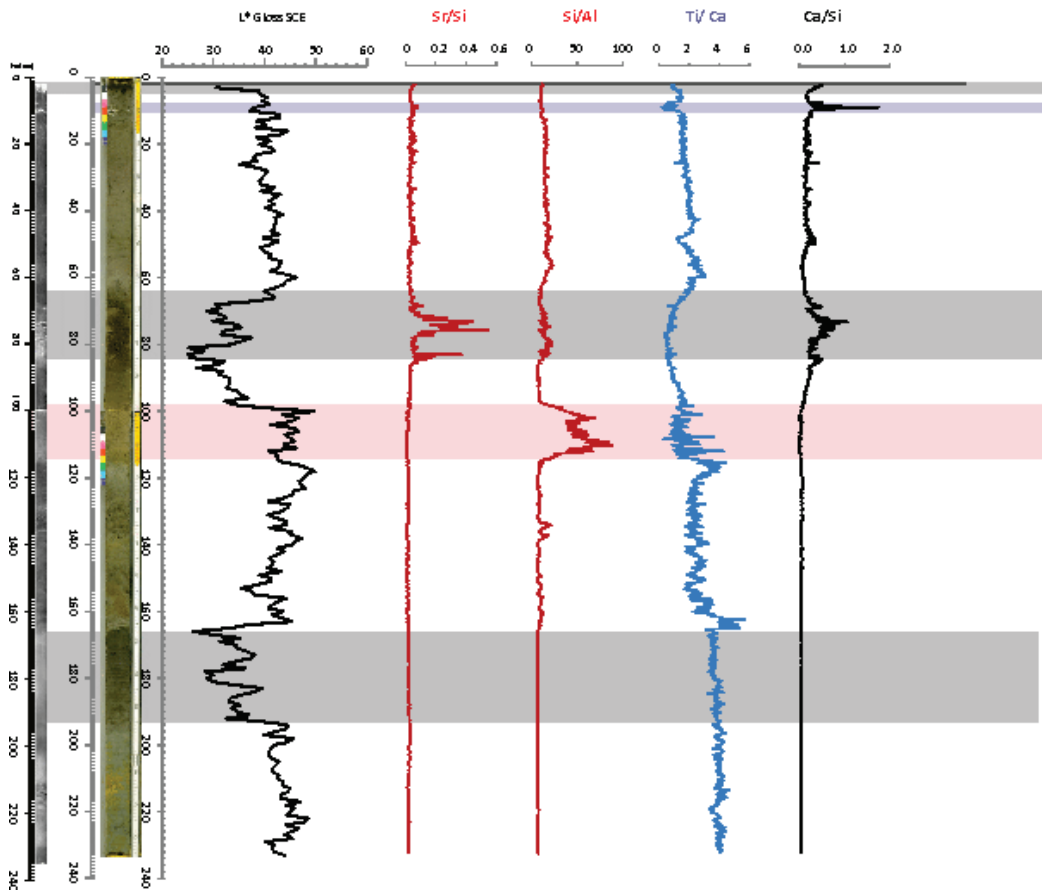
LITAG_A2_demi carottes



LITAG -A2 (LAT. : 45°30'05.094''N ; LONG. : 1°08'22.698''W ; 53.1 m alt. géoïde)

Carottage LITAQ_A2,

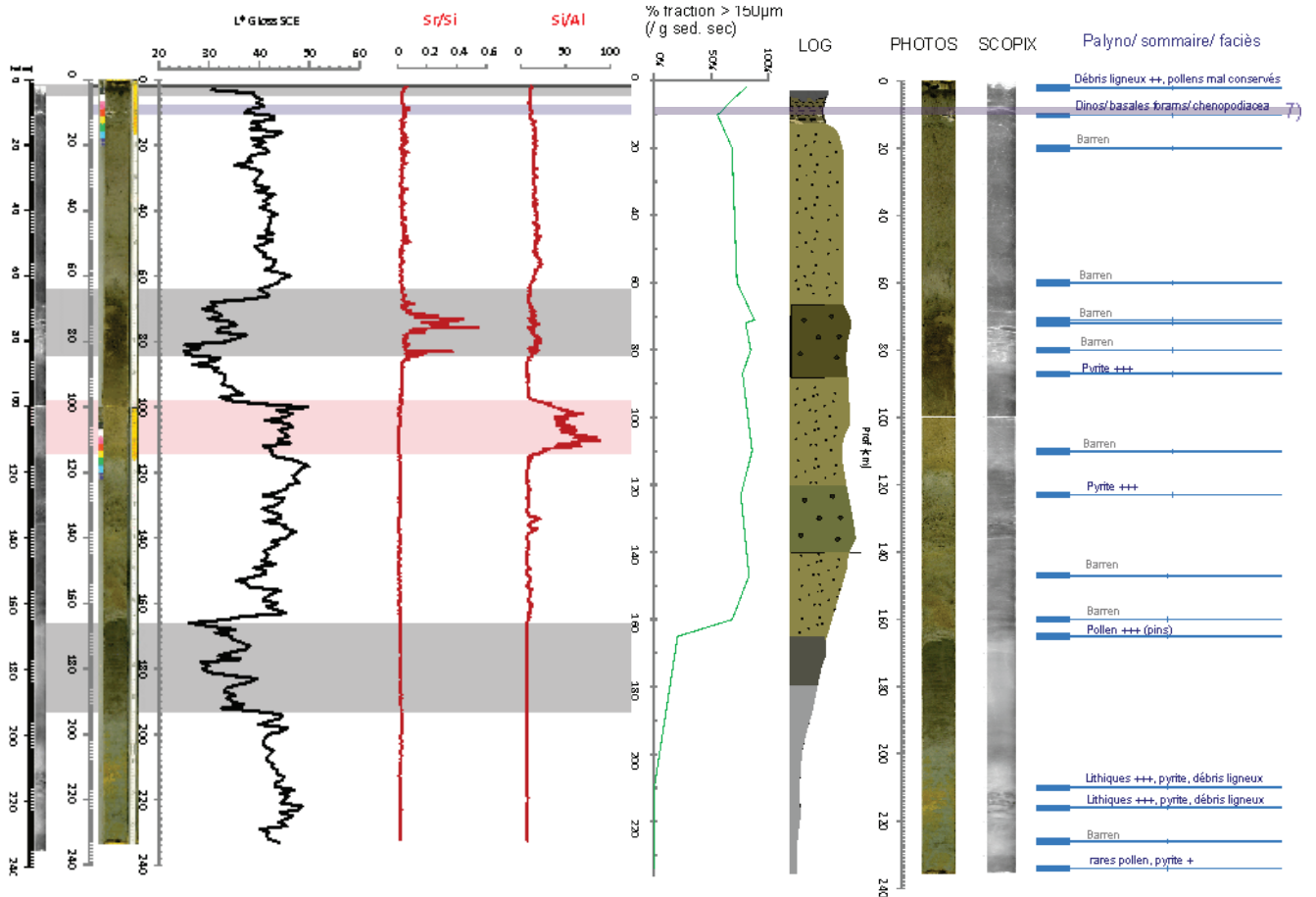
Litaq_A2 (45°30'05" N; 1°08'22.7" W)



Niveau à huitres
1.5 ka BP CAI (Calib 7)

Carottage LITAQ_A2,

Litaq_A2 (45°30'05" N; 1°08'22.7" W)



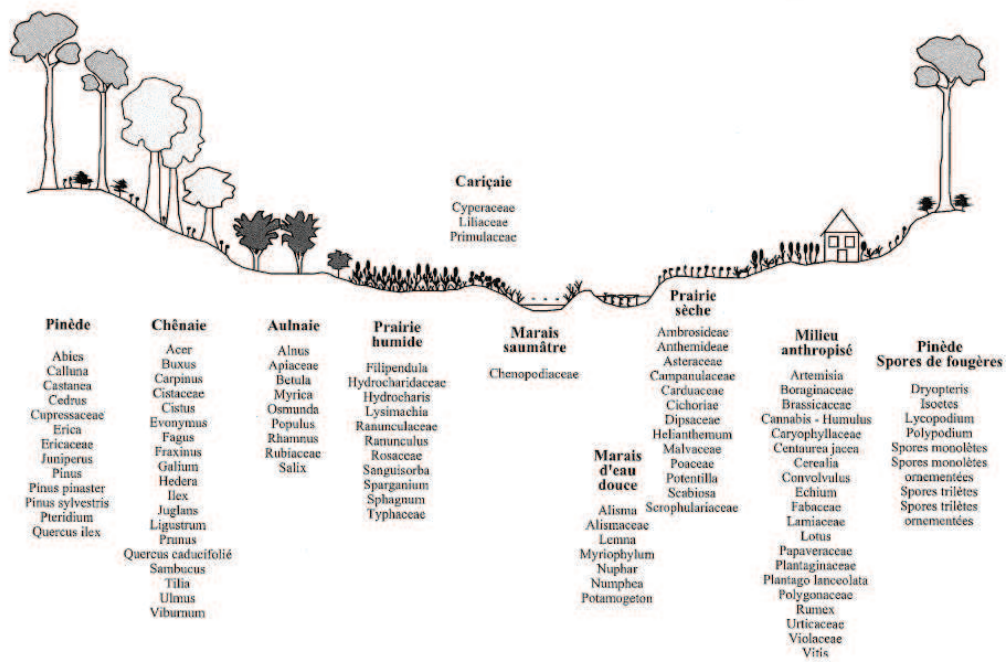
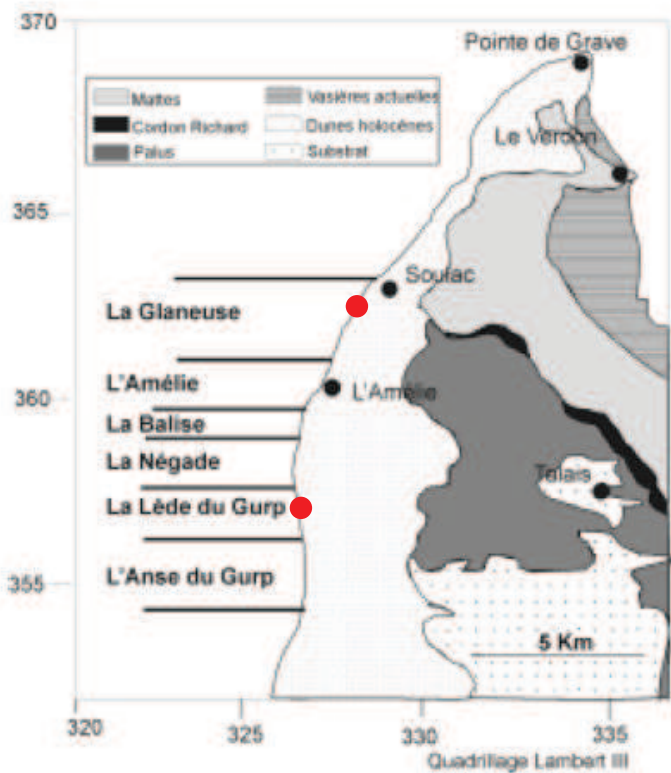


Figure 3 : Zonation environnementale des assemblages végétaux des régions littorales de la côte atlantique.

Coquillas et al., 2004.



Clavé, 2001



Source: Bert, Imbault, LIREA, LIRCS, AUC, GeoEye, Geoimages, Aerial, 1994, 1997, and the USGS User Consensus.